



光学学报
Acta Optica Sinica
ISSN 0253-2239,CN 31-1252/O4

《光学学报》网络首发论文

题目：一步法制备银/石墨烯/银复合结构及其拉曼增强特性
作者：邢豪健，朱永，张洁
收稿日期：2020-05-25
网络首发日期：2020-08-31
引用格式：邢豪健，朱永，张洁. 一步法制备银/石墨烯/银复合结构及其拉曼增强特性[J/OL]. 光学学报.
<https://kns.cnki.net/kcms/detail/31.1252.O4.20200828.1632.006.html>



网络首发：在编辑部工作流程中，稿件从录用到出版要经历录用定稿、排版定稿、整期汇编定稿等阶段。录用定稿指内容已经确定，且通过同行评议、主编终审同意刊用的稿件。排版定稿指录用定稿按照期刊特定版式（包括网络呈现版式）排版后的稿件，可暂不确定出版年、卷、期和页码。整期汇编定稿指出版年、卷、期、页码均已确定的印刷或数字出版的整期汇编稿件。录用定稿网络首发稿件内容必须符合《出版管理条例》和《期刊出版管理规定》的有关规定；学术研究成果具有创新性、科学性和先进性，符合编辑部对刊文的录用要求，不存在学术不端行为及其他侵权行为；稿件内容应基本符合国家有关书刊编辑、出版的技术标准，正确使用和统一规范语言文字、符号、数字、外文字母、法定计量单位及地图标注等。为确保录用定稿网络首发的严肃性，录用定稿一经发布，不得修改论文题目、作者、机构名称和学术内容，只可基于编辑规范进行少量文字的修改。

出版确认：纸质期刊编辑部通过与《中国学术期刊（光盘版）》电子杂志社有限公司签约，在《中国学术期刊（网络版）》出版传播平台上创办与纸质期刊内容一致的网络版，以单篇或整期出版形式，在印刷出版之前刊发论文的录用定稿、排版定稿、整期汇编定稿。因为《中国学术期刊（网络版）》是国家新闻出版广电总局批准的网络连续型出版物（ISSN 2096-4188，CN 11-6037/Z），所以签约期刊的网络版上网络首发论文视为正式出版。

一步法制备银/石墨烯/银复合结构及其拉曼增强特性

邢豪健，朱永^{*}，张洁

重庆大学光电技术及系统教育部重点实验室，重庆 400044；

摘要 本文采用真空蒸镀法与湿法转移法，制备出银/石墨烯/银(AG/GE/AG)三层结构，再通过一次高温退火，获得可重复利用的AG/GE/AG复合结构基底。利用COMSOL Multiphysics仿真软件计算了电场分布和理论增强因子。拉曼测试实验表明：对基底进行拉曼mapping测试，石墨烯D、G和2D峰的RSD值分别为26.0%、17.8%和23.6%，说明基底均匀性较好。对罗丹明6G(rhodamine 6G, R6G)和结晶紫(crystal violet, CV)的检测极限低至 10^{-7} mol/L。以 10^{-5} mol/L的R6G作为探针分子，硼氢化钠溶液作为清洗剂，研究了AG/GE/AG基底的重复性实验。以613和773 cm⁻¹处拉曼峰为例，清洗后，拉曼强度分别维持71.08%和71.60%。

关键词 表面光学；表面增强拉曼散射；一步法；石墨烯

中图分类号 0433.4 **文献标识码** A

Raman enhanced properties of silver/graphene/silver composite

structure prepared by one-step method

Xing Haojian, Zhu Yong^{*}, Zhang Jie

Key Laboratory of Optoelectronic Technology & Systems, Ministry of Education,
Chongqing University, Chongqing 400044, China

Abstract In this paper, a three-layer structure of silver/graphene/silver (AG/GE/AG) was prepared by vacuum evaporation method and wet transfer method, and then through a high temperature annealing, a reusable AG/GE/AG composite structure substrate was obtained. The electric field distribution and theoretical enhancement factor were calculated using COMSOL Multiphysics simulation software. The Raman measurements show that the RSD values of the D, G and 2D peaks of graphene are 26.0%, 17.8% and 23.6%, respectively, indicating its good uniformity. The detection limits for rhodamine 6G (R6G) and crystal violet (CV) are as low as 10^{-7} mol/L. SERS repeatability is performed on the AG/GE/AG substrate with a concentration of 10^{-5} mol/L rhodamine 6G solution as the probe molecule and sodium borohydride solution as the cleaning solution. Taking Raman peaks at 613 and 773 cm⁻¹ as examples, the Raman intensity maintained 71.08% and 71.60%, respectively, after cleaning.

Key words optics at surfaces; surface-enhanced Raman scattering; One-step; Graphene

基金项目：国家自然科学基金(61875024)、重庆市杰出青年基金(cstc2019jcyjjqX0018)、重庆大学人才计划(cqu2018CDHB1A07)

*E-mail: yongzhu@cqu.edu.cn

1 引言

表面增强拉曼散射（Surface enhanced Raman scattering, SERS）是自 1928 年印度科学家 Raman 发现拉曼散射以来又一重大发现^[1,2]，可以有效放大拉曼散射光。SERS 是指入射光照射到粗糙的金属纳米结构外表面时，对拉曼散射光产生极大增强的现象。由于其具有高灵敏度、高选择性等优点，已经成为生命医疗、食品安全、药物科学等众多领域的有力检测手段^[3-6]。随着人们对纳米尺度加工的不断探索，SERS 基底制备技术得到了极大地提高，如：电子束光刻^[7]、纳米压印光刻^[8,9]和模板技术^[10,11]等。

石墨烯由于其优异的化学增强作用以及良好的抗氧化性^[12,13]，被广泛应用于复合结构基底研究^[14-16]。Zhao 等^[17]在金纳米颗粒（AuNPs）和银纳米孔（AgNH）阵列之间引入单层石墨烯制备出一种新颖的 3D AuNPs-石墨烯-AgNH 复合结构基底。充分利用石墨烯的机械柔韧性和生物相容性的优点，对 R6G 分子的检出限为 10^{-13} mol/L，并且具有良好的重现性和稳定性。Zhan 等^[18]通过使用石墨烯作为两层金纳米粒子之间的间隔物来创建亚纳米间隙，从而制备出 Au/石墨烯/Au 复合结构基底。充分提升增强电磁场与石墨烯的耦合效果，实现对石墨烯达 300 倍以上的显著增强。重庆大学 zhang 等^[19]采用“两步法”制备出 AG/GE/AG 复合结构基底。第一步：在硅衬底上蒸镀一层银膜，进行高温退火；第二步：转移一层石墨烯至退火后的样品上，再蒸镀一层银膜，进行二次高温退火。实验增强因子达 2.7×10^9 。然而，该方案需要经过两次高温退火，工艺较为繁琐。在此，本文提出仅经过一次高温退火（“一步法”）制备出 AG/GE/AG 复合结构基底。减少制备时间，简化制备工艺。

2 制备和表征

采用“一步法”制备 AG/GE/AG 基底可分为四个步骤，如图 1 所示。① 利用真空蒸镀法在清洗干净的硅片上蒸镀一层稍厚的银膜（15 nm）；② 通过湿法转移法将单层石墨烯转移至银膜上；③ 再次利用真空蒸镀法在石墨烯上蒸镀一层稍薄的银膜（5 nm）；④ 将上述制备好的样品置于真空管式炉中，通过高温退火法，即可制备出 AG/GE/AG 基底；退火参数为：退火温度 600 °C；退火时间 60 min；通入气体及流速 Ar (120 sccm), H₂ (30 sccm)。由于石墨烯与银膜的膨胀系数存在差异，在高温的作用下，下层银膜会收缩为银纳米岛，石墨烯会对该层银纳米岛的上半部分进行包裹，上层银膜会收缩为银纳米颗粒粘连在石墨烯的

上表面。

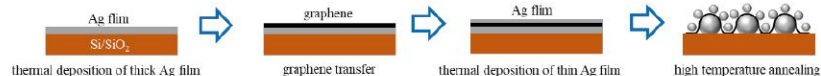


图1 AG/GE/AG基底制备流程图

Fig. 1 Preparation flow chart of AG/GE/AG substrate

AG/GE/AG 基底的扫描电子显微镜 (SEM)、透射电子显微镜 (TEM) 以及 X 射线能谱分析 (EDS) 表征分别如图 2 (a) ~ (d) 所示。可清晰分辨直径较大的银纳米岛以及周边的小型银纳米颗粒。通过 EDS 表征可以看出，石墨烯分布于银纳米岛的外表面。可通过调整蒸镀的银膜厚度，改变退火后的银纳米结构直径。

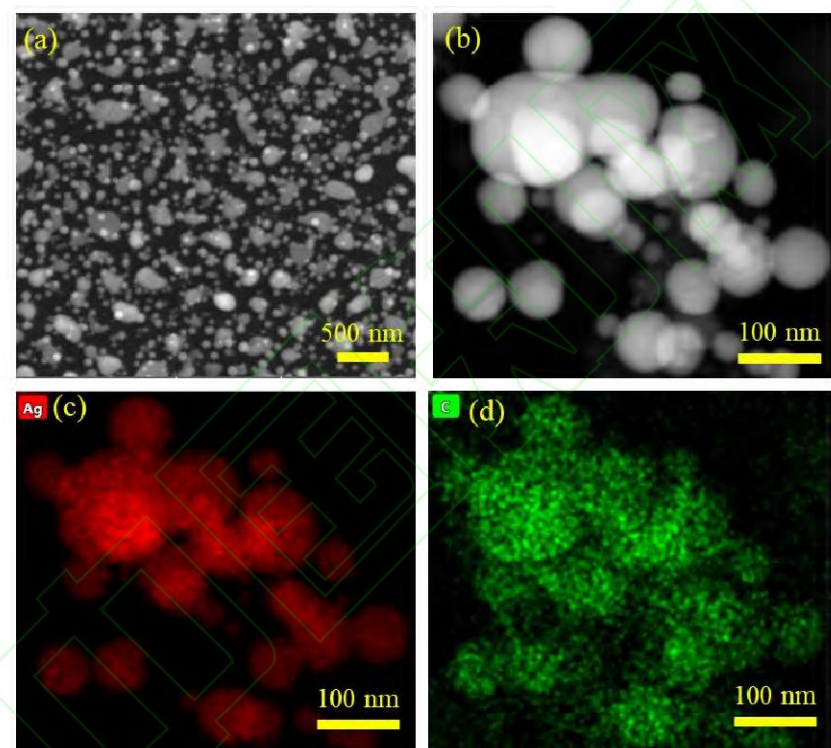


图2 AG/GE/AG基底形貌表征图。 (a) SEM表征; (b) TEM表征; (c) 和 (d) Ag和C元素的EDS表征

Fig. 2 The morphology characterization graph of AG/GE/AG substrate. (a) SEM characterization; (b) TEM characterization; (c) and (d) EDS characterization of Ag and C

3 理论数值分析

为了研究 AG/GE/AG 基底的拉曼增强机制，采用 Comsol 软件仿真模拟了该基底的电场分布 ($|E|$)，如图 3 所示。图 3 (a) 为 AG/GE/AG 基底的理想模型，右上角插图为黄色虚线区域内的放大图。根据 SEM 表征结果进行参数设置，下层较大的银颗粒和上层较小的银颗粒分别设置为 180 和 50 nm，石墨烯厚度为 0.4 nm，位于上下两层银颗粒之间，激励波长为 532 nm，入射光沿-Z 方向传播，Y 轴方向偏振，入射电场 $E_0=1$ V/m。在较大和较小纳米颗

粒之间取得最大电场强度 $E_{\max}=228 \text{ V/m}$, 计算得到增强因子为 $\sim 2.70 \times 10^9$ 。图 3 (b) 为根据左下角红色虚线框内 TEM 图抽象出的模型仿真结果。在右侧较大和较小纳米颗粒之间取得最大电场强度 $E_{\max}=167 \text{ V/m}$, 计算得到增强因子为 $\sim 7.78 \times 10^8$ 。

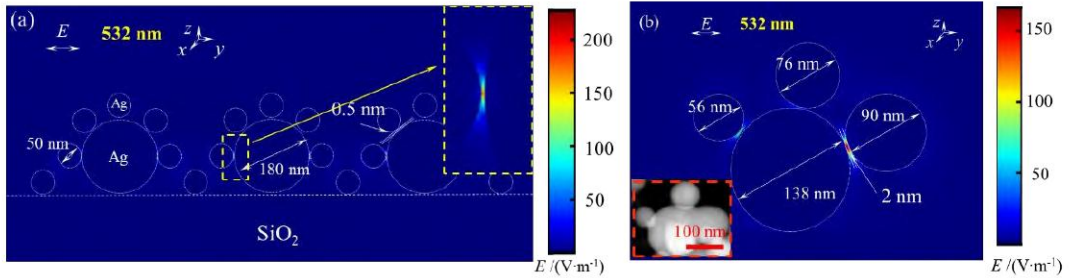


图3 AG/GE/AG基底comsol仿真图。 (a) 理想模型; (b) 根据TEM图抽象的模型

Fig. 3 Comsol simulation diagram of AG/GE/AG substrate. (a) ideal model; (b) abstract model based on TEM

4 实验研究

4.1 基底本身拉曼实验

为了研究 Ag 对 GE 拉曼信号的增强作用, 本文首先对纯 GE 和 AG/GE/AG 基底进行拉曼测试 (激励光波长为: 532 nm, 积分时间为: 2 s, 激光功率为: 5 mW)。如图 4 (a) 所示, AG/GE/AG 基底存在三个拉曼峰, 分别为石墨烯的 D (1344 cm^{-1})、G (1600 cm^{-1}) 和 2D (2677 cm^{-1}) 峰。在 SERS 增强作用下, 基底对 GE 的增强倍数达 67.5 倍 (2D 峰)。由于 SERS 基底热点的不均匀, 探针分子在基底上吸附分布时, 不同位置处的分子受到的局域电场增强是不一样的, 从而导致同样浓度的探针分子在测试过程中表现出拉曼增强的绝对强度不一致。为了避免这种随机性, 我们采用 Raman mapping 的测试方式 (扫描步进和区域分别设置为 $2 \mu\text{m}$ 和 $10 \times 6 \mu\text{m}^2$), 如图 4 (b) ~ (d) 所示。石墨烯 D、G 和 2D 峰的 RSD 值分别为 26.0%、17.8% 和 23.6%。

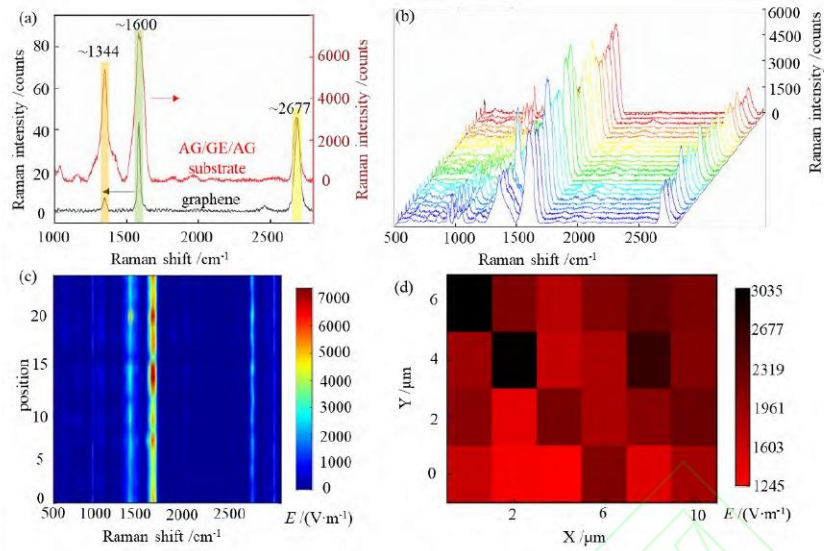


图4 AG/GE/AG基底拉曼表征结果。 (a) 石墨烯和AG/GE/AG基底的拉曼光谱; (b) 和 (c) AG/GE/AG基底拉曼mapping测试图; (d) AG/GE/AG基底的2D峰强度热点图

Fig. 4 Raman characterization results of AG/GE/AG substrates. (a) Raman spectrum of graphene and AG/GE/AG substrate; (b) and (c) Raman mapping test chart of AG/GE/AG substrate; (d) Heat map of 2D peak intensity of AG/GE/AG substrate

4.2 探针分子测试实验

采用罗丹明 6G 和结晶紫两种分子作为探针分子进行拉曼测试。如图 5 所示，分别为浓度为 10^{-2} (非 SERS)、 $10^{-7} \sim 10^{-5}$ (SERS) mol/L 的 R6G 溶液和浓度为 10^{-3} (非 SERS)、 $10^{-7} \sim 10^{-5}$ (SERS) mol/L 的 CV 溶液的拉曼信号。测试步骤：将待测分子溶液滴于硅片 (非 SERS) /基底 (SERS) 上，自然晾干后置于光谱仪下检测。如图 5 (a) 所示，在 613 和 773 cm^{-1} 处可以明显的看出 R6G 分子的拉曼峰。如图 5 (b) 所示，在 803 、 914 、 1178 cm^{-1} 处可以明显的看出 CV 分子的拉曼峰。采用如下 EF 计算公式计算实验增强：

$$F_E = (I_{\text{SERS}} / I_{\text{Normal}}) \times (V_{\text{Normal}} / V_{\text{SERS}}) \times (C_{\text{Normal}} / C_{\text{SERS}}), \quad (1)$$

其中， V_{Normal} 和 V_{SERS} 分别是探针分子溶液的体积， I_{SERS} 和 I_{Normal} 分别是 SERS 和非 SERS 的拉曼峰强度， C_{Normal} 和 C_{SERS} 分别是 SERS 和非 SERS 测量时的待测分子浓度。采用浓度为 10^{-2} mol/L (非 SERS) 和 10^{-7} mol/L (SERS) 的 R6G 分子拉曼频移在 613 cm^{-1} 处的实验数据，计算得出实验 EF 值为 8.70×10^4 。采用浓度为 10^{-3} mol/L (非 SERS) 和 10^{-7} mol/L (SERS) 的 CV 分子拉曼频移在 914 cm^{-1} 处的实验数据，计算得出实验 EF 值为 9.02×10^3 。

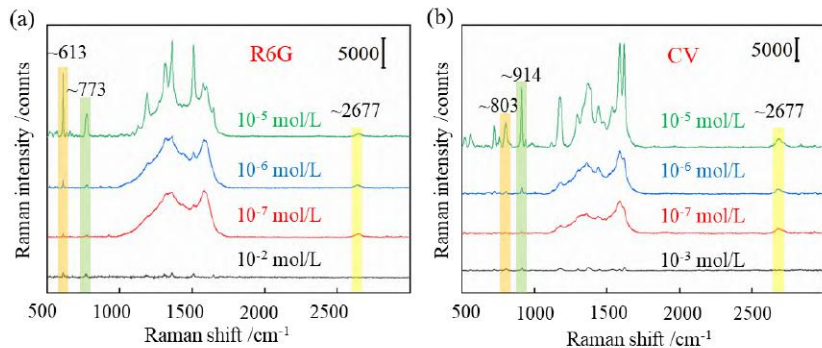


图5 罗丹明6G和结晶紫分子测试拉曼图。 (a) 罗丹明6G; (b) 结晶紫

Fig. 5 Raman diagram of Rhodamine 6G and crystal violet molecules. (a) Rhodamine 6G; (b) Crystal Violet

4.3 重复性测试实验

提高 SERS 基底的重复利用性仍是目前亟待解决的难题。本文采用 Ansar 等^[20]介绍的硼氢化钠 (NaBH_4) 对 SERS 基底表面分子解吸附作用，实现对同一基底上 R6G (10^{-5} mol/L) 探针分子的重复检测。检测步骤：① 对 SERS 基底进行拉曼检测；② 滴加浓度为 10^{-5} mol/L 的 R6G 溶液于该基底上进行 SERS 检测；③ 对基底进行清洗，再对该基底进行检测；④ 再次滴加浓度为 10^{-5} mol/L 的 R6G 溶液于该基底上进行 SERS 检测。清洗过程：首先将滴有 R6G 分子的基底浸泡在 0.01 mol/L 的硼氢化钠溶液中 10 min (解吸附)；然后再浸泡在去离子水中 10 min (去除多余的 NaBH_4 与 R6G)；最后取出基底自然晾干后，进行下一步检测。图 6 (a) 为步骤①和②中基底本身拉曼光谱与 R6G 的测试结果。步骤③和④的测试结果如图 6 (b) 所示，可以看出，清洗后基底上已无 R6G 分子的拉曼信号，说明清洗干净；此时，再滴加同一浓度的 R6G 分子，仍可获得明显的 R6G 拉曼信号。但是与清洗前相比，R6G 的 SERS 信号有所减小，以 613 和 773 cm^{-1} 为例，拉曼强度分别维持 71.08% 和 71.60% 。初步说明：清洗的过程减弱了 R6G 分子在基底表面的吸附方式/吸附能力/键键结合力，影响了石墨烯的电子掺杂，从而导致 SERS 信号的降低。

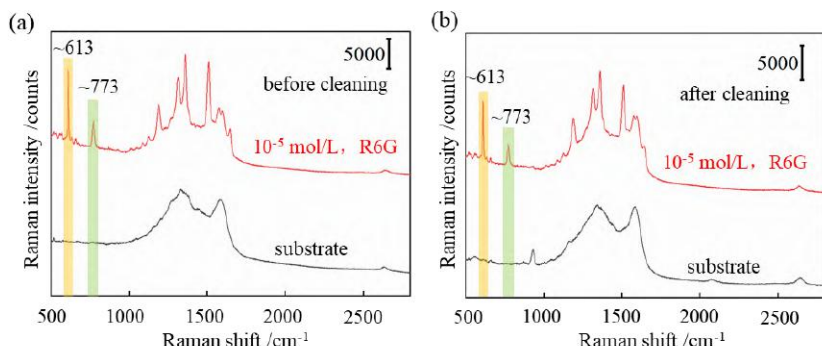


图6 重复性测试结果。 (a) 未清洗基底上的GE和R6G (10^{-5} mol/L)拉曼信号； (b) 清洗后的拉曼信号，图中黑色曲线为基底上GE拉曼光谱，红色曲线为R6G (10^{-5} mol/L)的SERS信号

Fig. 6 Results of repeatability test. (a) Raman signal on the uncleaned substrate of GE and R6G at 10^{-5} mol/L, (b) Raman signal of GE and R6G after cleaning. The black curve in the figure is the GE Raman spectrum on the substrate, and the red curve was R6G SERS signal

5 结 论

本文采用“一步法”制备了一种可重复使用的银/石墨烯/银复合结构基底，进行了结构仿真分析和实验测试。实验结果表明：对罗丹明 6G 和结晶紫的检测极限均达到 10^{-7} mol/l，实验 EF 达 8.70×10^4 (R6G)，实现对浓度为 10^{-5} mol/L R6G 溶液的重复性测试，以 613 和 773 cm^{-1} 为例，拉曼强度分别维持 71.08% 和 71.60%。AG/GE/AG 基底可能在食品安全、生命科学等领域具有新的发展前景。同时，我们可以通过改进基底制备工艺，进一步提升基底性能。

参考文献

- [1] Raman C V, Krishnan K S. A new type of secondary radiaition[J]. Nature, 1928, 121: 501-502.
- [2] Fleischmann M, Hendra P J, McQuillan A J. Raman spectra of pyridine adsorbed at a silver electrode[J]. Chemical Physics Letters, 1974, 26(2): 163-166.
- [3] Wang P, Liang O, Zhang W, et al. Ultra-sensitive graphene-plasmonic hybrid platform for label-free detection[J]. Advanced Materials, 2013, 25(35): 4918-4924.
- [4] Dong Z H, Liu Y, Qin Y Y, et al. Fabrication of fiber SERS probes by laser-induced self-assembly method in a meniscus and its applications in trace detection of pesticide residues[J]. Chinese journal of lasers, 2018, 45(8): 0804009.
董子豪, 刘晔, 秦琰琰, 等. 激光诱导液面自组装法制备光纤 SERS 探针及其农药残留检测应用[J]. 中国激光. 2018, 45(8): 0804009.
- [5] Xing H J, Yin Z H, Zhang J, et al. Review on Quantitative Analysis of Surface Enhanced Raman Scattering by Internal Standard Method[J]. Laser & Optoelectronics Progress. 2020, 57(3): 030002.
邢豪健, 尹增鹤, 张洁, 等. 内标法用于表面增强拉曼散射定量分析[J]. 激光与光电子学进展. 2020, 57(3): 030002.
- [6] Gwo S, Wang C Y, Chen H Y, et al. Plasmonic Metasurfaces for Nonlinear Optics and Quantitative SERS[J]. Acs Photonics, 2016, 3(8): 1371-1384.
- [7] Kleinman S L, Frontiera R R, Henry A I, et al. Creating, characterizing, and controlling chemistry with SERS hot spots[J]. Physical Chemistry Chemical Physics, 2013, 15(1): 21-36.
- [8] Ryu Y, Kang G, Lee C W, et al. Porous metallic nanocone arrays for high-density SERS hot spots via solvent-assisted nanoimprint lithography of block copolymer[J]. Rsc Advances, 2015, 5(93): 76085-76091.
- [9] Radha B, Lim S H, Saifullah M S, et al. Metal hierarchical patterning by direct nanoimprint lithography[J]. Scientific Reports, 2013, 3(7438): 1078.
- [10] Zhao X, Wen J, Zhang M, et al. Design of Hybrid Nanostructural Arrays to Manipulate SERS-Active Substrates by Nanosphere Lithography[J]. Acs Applied Materials & Interfaces, 2017,

9(8): 7710-7716.

- [11] Ho C C, Zhao K, Lee T Y. Quasi-3D gold nanoring cavity arrays with high-density hot-spots for SERS applications via nanosphere Lithography[J]. *Nanoscale*, 2014, 6(15): 8606-8611.
- [12] Nair R R, Blake P, Grigorenko A N, et al. Fine structure constant defines visual transparency of graphene[J]. *Science*, 2008, 320(5881): 1308-1308.
- [13] Geim A K, Novoselov K S. The rise of graphene[J]. *Nature Materials*, 2007, 6(3): 183-191.
- [14] Gong T C, Zhang J, Zhu Y, et al. Optical properties and surface-enhanced Raman scattering of hybrid structures with Ag nanoparticles and graphene[J]. *Carbon*, 2016, 102: 245-254.
- [15] Zhang J, Yin Z H, Gong T C, et al. Graphene/Ag nanoholes composites for quantitative surface-enhanced Raman scattering[J]. *Optics Express*, 2018, 26 (17): 22432-22439.
- [16] Ling X, Xie L, Fang Y, et al. Can graphene be used as a substrate for Raman enhancement?[J]. *Nano letters*, 2010, 10(2): 553-561.
- [17] Zhao Y , Yang D , Li X , et al. Toward highly sensitive surface-enhanced Raman scattering: the design of a 3D hybrid system with monolayer graphene sandwiched between silver nanohole arrays and gold nanoparticles[J]. *Nanoscale*, 2016, 9(3): 1087-1096.
- [18] Zhan Z Y, Liu L H, Wang W, et al. Ultrahigh surface enhanced Raman scattering of graphene from Au/graphene/Au sandwiched structures with subnanometer gap[J]. *Advanced Optical Materials*, 2016, 4(12): 2021-2027.
- [19] Quan J M, Zhang J, Li J Y, et al. Three-dimensional AgNPs-graphene-AgNPs sandwiched hybrid nanostructures with sub-nanometer gaps for ultrasensitive surface-enhanced Raman spectroscopy[J]. *Carbon*, 2019, 147: 105-111.
- [20] Ansar S M, Ameer F S, Hu W, et al. Removal of molecular adsorbates on gold nanoparticles using sodium borohydride in water[J]. *Nano letters*, 2013, 13(3): 1226-1229.

网络首发：

标题：一步法制备银/石墨烯/银复合结构及其拉曼增强特性

作者：邢豪健,朱永,张洁

收稿日期：2020-05-25

录用日期：2020-07-15

DOI：10.3788/aos202040.2124001

引用格式：

邢豪健,朱永,张洁. 一步法制备银/石墨烯/银复合结构及其拉曼增强特性[J]. 光学学报, 2020, 40(21): 2124001.

网络首发文章内容与正式出版的有细微差别,请以正式出版文件为准!

您感兴趣的其他相关论文：

基于石墨烯的D型双芯光纤调制器

金丽丹 宁提纲 裴丽 郑晶晶 李晶 贺雪晴

北京交通大学全光网络与现代通信网教育部重点实验室, 北京 100044

光学学报, 2019, 39(5): 0506002

基于原子层沉积技术的石英管表面减反射膜的制备

沐雯 沈伟东 杨陈楹 郑晓雯 王震 袁华新 袁文佳 章岳光

浙江大学光电科学与工程学院现代光学仪器国家重点实验室, 浙江 杭州 310027

光学学报, 2019, 39(3): 0324001

硅基纳米光镊结构的热分析和捕获特性

朱晨俊 宋五洲 屈铭 高奎 杨敏君

华中科技大学材料科学与工程学院, 湖北 武汉 430074

光学学报, 2019, 39(3): 0324002

涂覆石墨烯的三根电介质纳米线波导的模式特性

卫壮志 薛文瑞 彭艳玲 程鑫 李昌勇

山西大学物理电子工程学院, 山西 太原 030006

光学学报, 2019, 39(1): 0124001

光学薄膜塔姆态诱导石墨烯近红外光吸收增强

黎志文 陆华 李扬武 焦晗 赵建林

西北工业大学理学院超常条件材料物理与化学教育部重点实验室与陕西省光信息技术重点实验室,

陕西 西安 710072

光学学报, 2019, 39(1): 0131001